NetWorks Sp. z o.o.
Laboratorium Badań Środowiskowych
ul. Józefa Piusa Dziekońskiego 3
00-728 Warszawa
e-mail: Laboratorium@networks.pl

AB 419

S P R A W O Z D A N I E 1443/2023/OS
Z POMIARÓW PÓL ELEKTROMAGNETYCZNYCH
WYKONANYCH DLA POTRZEB OCHRONY ŚRODOWISKA

Badany obiekt: Instalacja radiokomunikacyjna T-Mobile Polska S.A.

Numer i nazwa: 30685 (40018N!) GGD_GDANSK_TRAKTSWWOJ389

Adres: GDAŃSK, TRAKT ŚW. WOJCIECHA 389,Powiat m. Gdańsk, WOJ. POMORSKIE

Data wykonania pomiarów: 2024-01-24

Sprawozdanie z badań bez pisemnej zgody laboratorium nie może być powielane inaczej niż w całości.
Wynik przedstawione w niniejszym sprawozdaniu odnoszą się wyłącznie do badanego obiektu i do warunków i konfiguracji urządzeń w dniu wykonywania pomiarów.

1. **Właściciel badanego obiektu:**
   T-Mobile Polska S.A., ul. Marynarska 12, 02-674 Warszawa

2. **Zleceniodawca:**
   T-Mobile Polska S.A., ul. Marynarska 12, 02-674 Warszawa

3. **Przedstawiciel zleceniodawcy:**
   NetWorks Sp. z o.o.

4. **Zakres zlecenia:**
   Wykonanie badania i opracowanie sprawozdania z pomiarów natężenia pola elektrycznego i pola magnetycznego dla instalacji radiokomunikacyjnej T-Mobile Polska S.A. zlokalizowanej w miejscowości GDAŃSK, TRAKT ŚW. WOJCIECHA 389.

5. **Cel zlecenia:**
   Wykonanie pomiarów pól elektomagnetycznych w otoczeniu instalacji radiokomunikacyjnej 30685 (40018N!) GGD_GDANSK_TRAKTSWWOJ389 w odniesieniu do wymagań określonych w *Rozporządzeniu Ministra Klimatu z dnia 17 lutego 2020 r. w sprawie sposobów sprawdzania dotrzymania dopuszczalnych poziomów pól elektromagnetycznych w środowisku (Dz.U. 2022 poz. 2630).*

6. **Pomiary zostały wykonane przez:**
   Dąbkowski Dominik

7. **Informacje o źródłach pól elektromagnetycznych**

7.1. Sposób identyfikacji badanych źródeł pól elektromagnetycznych

Identyfikacji źródeł i parametrów technicznych dokonano na podstawie analizy dokumentacji dotyczącej zlecenia oraz obserwacji miejsca wykonywania badań.

7.2. Opis miejsca zainstalowania anten i urządzeń technicznych. Opis obiektu badań i jego otoczenia

Instalacja radiokomunikacyjna zlokalizowana jest na terenie ogrodzonym. Anteny zawieszono na wieży kratowej. Urządzenia sterujące oraz zasilające zainstalowano w kontenerze u podstawy wieży. Wokół instalacji znajduje się miasto.
Instalacja radiokomunikacyjna jest obiektem bezobsługowym. Okresowe stanowiska pracy związane są z prowadzonymi w zależności od potrzeb konserwacjami, przeglądami, strojeniem i naprawami.

Sprawozdanie z badań bez pisemnej zgody laboratorium nie może być powielane inaczej niż w całości.
Wynik przedstawione w niniejszym sprawozdaniu odnoszą się wyłącznie do badanego obiektu i do warunków i konfiguracji urządzeń w dniu wykonywania pomiarów.

7.3. Parametry techniczne źródła pola elektromagnetycznego

Dane przedstawiające maksymalne parametry pracy instalacji przekazane przez zleceniodawcę:

Parametry systemu nadawczo-odbiorczego:

Charakterystyka promieniowania	kierunkowa
Rzeczywisty czas pracy [h/dobę]	24
Warunki pracy	znamionowe
Rodzaj wytwarzanego pola	stacjonarne

Lp.	Częstotliwość lub zakresy częstotliwości pracy [MHz]	Typ/producent anteny	liczba anten	Azymut [°]	kąt pochylenia [°]	Wysokość środka elektrycznego anteny [m n.p.t]	Równoważna moc promieniowana izotropowo (EIRP) [W]
1	3600	AQQQ NSN	1	70	0-12**	27.1	22131
2	1800/2100	ATR4518R6v06 Huawei	1	70	-3-9**/-3-9**	29	13408
3	900	742265v02 Kathrein	1	70	-2-10**	29	2319
4	800/2600	ATR4518R6v06 Huawei	1	70	-1-11**/-4-8**	29	8971
5	3600	AQQQ NSN	1	180	0-12**	27.1	22131
6	900	742265 Kathrein	1	180	-4-8**	29	2527
7	1800/2100	ATR4518R6v06 Huawei	1	180	-4-8**/-4-8**	29	13408
8	800/2600	ATR4518R6v06 Huawei	1	180	-3-9**/-4-8**	29	8971
9	3600	AQQQ NSN	1	330	0-12**	27.1	22131
10	900	742265 Kathrein	1	330	-3-9**	29	2527
11	1800/2100	ATR4518R6v06 Huawei	1	330	-3-9**/-3-9**	29	13408
12	800/2600	ATR4518R6v06 Huawei	1	330	-3-9**/-3-9**	29	8971

* wskazane wartości kąta pochylenia anten, zgodnie z informacją uzyskaną od zleceniodawcy, są wartościami stałymi

** pomiary wykonano zgodnie z pkt 13., ppkt 2 załącznika do Rozporządzenia Ministra Klimatu z dnia 17 lutego 2020 r. (Dz. U. 2022, poz. 2630).

Transmisja realizowana drogą kablową

7.4 Inne źródła pól elektromagnetycznych

Na podstawie informacji otrzymanych od użytkownika oraz obserwacji otoczenia miejsca wykonywania pomiarów stwierdzono występowanie innych źródeł pola-EM, pracujących w systemie: telefonii komórkowej (800MHz-2600MHz),linii radiowych (5GHz – 90GHz), które istotnie wpływają na wyniki pomiarów.

8. Opis pomiarów

8.1. Metoda badań

Zgodna z rozporządzeniem Ministra Klimatu z dnia 17 lutego 2020 r. w sprawie sposobów sprawdzania dotrzymania dopuszczalnych poziomów pól elektromagnetycznych w środowisku (Dz.U. 2022 poz. 2630), określona w pkt 25 ppkt 1 załącznika do niniejszego rozporządzenia.

Sprawozdanie z badań bez pisemnej zgody laboratorium nie może być powielane inaczej niż w całości.
Wynik przedstawione w niniejszym sprawozdaniu odnoszą się wyłącznie do badanego obiektu i do warunków i konfiguracji urządzeń w dniu wykonywania pomiarów.

8.2. Termin pomiarów i warunki środowiskowe

Podczas wykonywania pomiarów pól elektromagnetycznych nie występowały opady atmosferyczne. Wyniki pomiaru parametrów pogodowych przedstawia poniższa tabela:

Data [rrrr-mm- dd]	Godzina [hh:mm-hh:mm]	Warunki środowiskowe			
		Temperatura [°C]		Wilgotność względna [%]	
2024-01-24	13:25-14:50	Przed pomiarem	Po pomiarach	Przed pomiarem	Po pomiarach
		7.0	7.0	84.0	85.0

Przedstawione wyżej warunki środowiskowe, występujące podczas wykonywania pomiarów pól elektromagnetycznych, są zgodne ze specyfikacją techniczną użytego zestawu pomiarowego.

8.3. Warunki pracy urządzeń nadawczych

Podczas pomiarów w przypadku uzyskania wyniku pomiaru szerokopasmowego wykonanego zastosowaną metodą, dla zakresów częstotliwości od 10 MHz do 300 GHz, powiększonego o rozszerzoną niepewność pomiaru U dla współczynnika rozszerzenia k = 2 przekraczającego 70% najniższej dopuszczalnej wartości składowej elektrycznej lub magnetycznej pola dla objętych pomiarami zakresów częstotliwości, uwzględnia się poprawki pomiarowe przekazane przez zleceniodawcę, umożliwiające uwzględnienie maksymalnych parametrów pracy instalacji zgodnie z pkt 7 załącznika do Rozporządzeniem Ministra Klimatu z dnia 17 lutego 2020 r. w sprawie sposobów sprawdzania dotrzymania dopuszczalnych poziomów pól elektromagnetycznych w środowisku (Dz. U. 2022, poz. 2630) zaznaczając, że wymagane jest wykonanie pomiaru z wykorzystaniem miernika selektywnego. W przypadku uzyskania wyniku pomiaru szerokopasmowego wykonanego zastosowaną metodą, dla zakresów częstotliwości od 10 MHz do 300 GHz, powiększonego o rozszerzoną niepewność pomiaru U dla współczynnika rozszerzenia k = 2 nieprzekraczającego 70% najniższej dopuszczalnej wartości składowej elektrycznej lub magnetycznej pola dla objętych pomiarami zakresów częstotliwości, nie uwzględnia się poprawek pomiarowych.

8.4. Wyposażenie pomiarowe

Zestaw pomiarowy służący do pomiaru natężenia składowej elektrycznej pola elektromagnetycznego złożony z szerokopasmowego miernika i sondy pomiarowej:

Oznaczenie miernika	Producent	Model	Numer fabryczny	Oznaczenie sondy	Producent	Model	Numer fabryczny
MF-03	Narda Safety Test Solution	Miernik pól elektromagnetycznych Narda FieldMan	B-0121	SF-05	Narda Safety Test Solution	Sonda EFD-6091	A-0074

Mierniki natężenia pola elektromagnetycznego podlegają okresowemu sprawdzeniu zgodnie z procedurą wewnętrzną P-03 i PB-01. Świadectwo wzorcowania zestawu pomiarowego z dnia 6 grudnia 2023 o numerze LWiMP/W/464/23 wydane przez Politechnika Wrocławska.
Data ważności świadectwa wzorcowania: 6 grudnia 2025 (zgodnie z procedurą wewnętrzną P-03).

Termohigrometr:

Oznaczenie:	TH-28	Producent:	AZ INSTRUMENT CORP	Model:	Termohigrometr AZ8706

Data ważności świadectwa wzorcowania: 19 października 2025 (zgodnie z procedurą wewnętrzną P-03).

Dalmierz:

Oznaczenie	Producent	Typ	Numer seryjny	Nr świadectwa wzorcowania	Data świadectwa wzorcowania
D-05	Leica	Dalmierz Leica Disto X310	843960151	1146.5-M11-4180-396/15	8 kwietnia 2015

Data ważności świadectwa wzorcowania: 8 kwietnia 2025 (zgodnie z procedurą wewnętrzną P-03).

Odbiornik GNSS:

Odbiornik GNSS wbudowany w miernik natężenia pola elektromagnetycznego użyty podczas pomiarów	Producent	Model
	UBlox	NEO-M8T

Odbiorniki podlegają okresowemu sprawdzeniu zgodnie z procedurą wewnętrzną P-03.

Sprawozdanie z badań bez pisemnej zgody laboratorium nie może być powielane inaczej niż w całości.
Wynik przedstawione w niniejszym sprawozdaniu odnoszą się wyłącznie do badanego obiektu i do warunków i konfiguracji urządzeń w dniu wykonywania pomiarów.

9. Wyniki pomiarów

Pole elektryczne

Nr pionu	Opis umiejscowienia pionu (punktu) pomiarowego	Wysokość pomiaru [m]	Zmierzona wartość natężenia pola elektrycznego E [V/m][1,5]	Wartość natężenia pola elektrycznego powiększona o niepewność pomiaru[4] E [V/m]	Wskaźnikowa wartość poziomu emisji pól elektromagnetycznych WM_E[3]	Współrzędne geograficzne pionu (punktu) pomiarowego[2]
1	GKP w odległości 6m od anteny sektorowej az. 70°	0.3-2.0	**3.0**	4.5	0.16	54°17'37.3" 18°38'11.8"
2	GKP w odległości 26m od anteny sektorowej az. 70°	2.0	1.2	1.8	0.06	54°17'37.7" 18°38'12.8"
3	GKP w odległości 62m od anteny sektorowej az. 70°	2.0	1.4	2.1	0.07	54°17'38.0" 18°38'14.6"
4	GKP w odległości 94m od anteny sektorowej az. 70°	0.3-2.0	<1.0*	1.5	0.05	54°17'38.4" 18°38'16.4"
5	GKP w odległości 14m od anteny sektorowej az. 180°	2.0	**3.0**	4.5	0.16	54°17'37.0" 18°38'11.4"
6	GKP w odległości 31m od anteny sektorowej az. 180°	2.0	2.7	4	0.14	54°17'36.2" 18°38'11.4"
7	GKP w odległości 61m od anteny sektorowej az. 180°	2.0	2.1	3.1	0.11	54°17'35.2" 18°38'11.4"
-	GKP w odległości 147m od anteny sektorowej az. 180°	0.3-2.0	<1.0*	1.5	0.05	54°17'32.6" 18°38'11.4"
9	GKP w odległości 7m od anteny sektorowej az. 330°	2.0	**3.0**	4.5	0.16	54°17'37.7" 18°38'11.4"
10	GKP w odległości 29m od anteny sektorowej az. 330°	2.0	2.0	3	0.11	54°17'38.4" 18°38'10.7"
11	GKP w odległości 61m od anteny sektorowej az. 330°	2.0	1.8	2.7	0.1	54°17'39.1" 18°38'9.6"
12	GKP w odległości 91m od anteny sektorowej az. 330°	0.3-2.0	1.2	1.8	0.06	54°17'39.8" 18°38'8.9"
13	PKP na az. 337° w odległości 25m od anteny sektorowej az. 330°	2.0	1.9	2.8	0.1	54°17'38.0" 18°38'11.0"
14	PKP na az. 350° w odległości 27m od anteny sektorowej az. 330°	2.0	1.9	2.8	0.1	54°17'38.4" 18°38'11.0"
15	PKP na az. 5° w odległości 26m od anteny sektorowej az. 330°	2.0	1.8	2.7	0.1	54°17'38.4" 18°38'11.4"
16	PKP na az. 35° w odległości 27m od anteny sektorowej az. 70°	2.0	1.6	2.4	0.09	54°17'38.0" 18°38'12.5"
17	PKP na az. 50° w odległości 29m od anteny sektorowej az. 70°	2.0	1.3	1.9	0.07	54°17'38.0" 18°38'12.8"
18	PKP na az. 64° w odległości 30m od anteny sektorowej az. 70°	0.3-2.0	<1.0*	1.5	0.05	54°17'37.7" 18°38'12.8"
19	PKP na az. 77° w odległości 29m od anteny sektorowej az. 70°	0.3-2.0	<1.0*	1.5	0.05	54°17'37.7" 18°38'13.2"
20	PKP na az. 90° w odległości 27m od anteny sektorowej az. 70°	0.3-2.0	<1.0*	1.5	0.05	54°17'37.3" 18°38'12.8"
21	PKP na az. 105° w odległości 23m od anteny sektorowej az. 70°	2.0	1.3	1.9	0.07	54°17'37.3" 18°38'12.8"
22	PKP na az. 144° w odległości 17m od anteny sektorowej az. 180°	2.0	**3.0**	4.5	0.16	54°17'37.0" 18°38'12.1"
23	PKP na az. 161° w odległości 17m od anteny sektorowej az. 180°	2.0	**3.0**	4.5	0.16	54°17'37.0" 18°38'11.8"
24	PKP na az. 173° w odległości 17m od anteny sektorowej az. 180°	2.0	2.8	4.2	0.15	54°17'37.0" 18°38'11.4"
25	PKP na az. 188° w odległości 18m od anteny sektorowej az. 180°	2.0	2.4	3.6	0.13	54°17'36.2" 18°38'11.4"
26	PKP na az. 200° w odległości 21m od anteny sektorowej az. 180°	2.0	2.5	3.7	0.13	54°17'36.6" 18°38'11.0"
27	PKP na az. 215° w odległości 23m od anteny sektorowej az. 180°	2.0	2.4	3.6	0.13	54°17'36.6" 18°38'10.7"
28	PKP na az. 294° w odległości 24m od anteny sektorowej az. 330°	2.0	1.7	2.5	0.09	54°17'37.7" 18°38'10.3"
29	PKP na az. 309° w odległości 28m od anteny sektorowej az. 330°	2.0	1.8	2.7	0.1	54°17'38.0" 18°38'10.3"
30	PKP na az. 322° w odległości 25m od anteny sektorowej az. 330°	2.0	1.9	2.8	0.1	54°17'38.0" 18°38'10.7"
31	PKP na az. 241° w odległości 58m od anteny sektorowej az. 180°	0.3-2.0	<1.0*	1.5	0.05	54°17'36.6" 18°38'8.5"

Sprawozdanie z badań bez pisemnej zgody laboratorium nie może być powielane inaczej niż w całości.
Wynik przedstawione w niniejszym sprawozdaniu odnoszą się wyłącznie do badanego obiektu i do warunków i konfiguracji urządzeń w dniu wykonywania pomiarów.

32	PKP na az. 254° w odległości 46m od anteny sektorowej az. 330°	2.0	1.7	2.5	0.09	54°17'37.0" 18°38'9.6"
33	DPP - w płaszczyźnie otworu okiennego budynku mieszkalnego, piętro 1, ul.	0.3-2.0	<1.0*	1.5	0.05	54°17'36.6" 18°38'8.2"
34	DPP - na tarasie budynku mieszkalnego, piętro 1, ul.	0.3-2.0	<1.0*	1.5	0.05	54°17'35.9" 18°38'8.5"
35	PKP na az. 204° w odległości 53m od anteny sektorowej az. 180°	2.0	2.0	3	0.11	54°17'35.9" 18°38'10.3"
36	PKP na az. 213° w odległości 83m od anteny sektorowej az. 180°	2.0	1.4	2.1	0.07	54°17'34.8" 18°38'10.3"
37	PKP na az. 110° w odległości 63m od anteny sektorowej az. 70°	2.0	1.3	1.9	0.07	54°17'36.6" 18°38'14.6"
38	DPP - w płaszczyźnie otworu okiennego budynku mieszkalnego, na parterze, ul.	0.3-2.0	<1.0*	1.5	0.05	54°17'37.3" 18°38'7.4"
39	PKP na az. 288° w odległości 48m od anteny sektorowej az. 330°	0.3-2.0	<1.0*	1.5	0.05	54°17'38.0" 18°38'8.9"
40	PKP na az. 28° w odległości 54m od anteny sektorowej az. 330°	0.3-2.0	<1.0*	1.5	0.05	54°17'39.1" 18°38'12.8"
-	GKP w odległości 206m od anteny sektorowej az. 330°	0.3-2.0	<1.0*	1.5	0.05	54°17'43.1" 18°38'5.6"
-	GKP w odległości 235m od anteny sektorowej az. 70°	0.3-2.0	<1.0*	1.5	0.05	54°17'39.8" 18°38'23.6"
-	GKP w odległości 262m od anteny sektorowej az. 180°	0.3-2.0	<1.0*	1.5	0.05	54°17'28.7" 18°38'11.4"

Pole magnetyczne (wyznaczone na podstawie pomiaru wartości natężenia pola elektrycznego)

Nr pionu	Opis umiejscowienia pionu (punktu) pomiarowego	Wysokość pomiaru [m]	Wartość natężenia pola magnetycznego H [A/m][1]	Wartość natężenia pola magnetycznego powiększona o niepewność pomiaru[4] H [A/m]	Wskaźnikowa wartość poziomu emisji pól elektromagnetycznych WM_H[3]	Współrzędne geograficzne pionu (punktu) pomiarowego[2]
1	GKP w odległości 6m od anteny sektorowej az. 70°	0.3-2.0	**0.008**	0.012	0.16	54°17'37.3" 18°38'11.8"
2	GKP w odległości 26m od anteny sektorowej az. 70°	2.0	0.003	0.005	0.06	54°17'37.7" 18°38'12.8"
3	GKP w odległości 62m od anteny sektorowej az. 70°	2.0	0.004	0.006	0.08	54°17'38.0" 18°38'14.6"
4	GKP w odległości 94m od anteny sektorowej az. 70°	0.3-2.0	<0.003*	0.004	0.05	54°17'38.4" 18°38'16.4"
5	GKP w odległości 14m od anteny sektorowej az. 180°	2.0	**0.008**	0.012	0.16	54°17'37.0" 18°38'11.4"
6	GKP w odległości 31m od anteny sektorowej az. 180°	2.0	0.007	0.011	0.15	54°17'36.2" 18°38'11.4"
7	GKP w odległości 61m od anteny sektorowej az. 180°	2.0	0.006	0.008	0.11	54°17'35.2" 18°38'11.4"
-	GKP w odległości 147m od anteny sektorowej az. 180°	0.3-2.0	<0.003*	0.004	0.05	54°17'32.6" 18°38'11.4"
9	GKP w odległości 7m od anteny sektorowej az. 330°	2.0	**0.008**	0.012	0.16	54°17'37.7" 18°38'11.4"
10	GKP w odległości 29m od anteny sektorowej az. 330°	2.0	0.005	0.008	0.11	54°17'38.4" 18°38'10.7"
11	GKP w odległości 61m od anteny sektorowej az. 330°	2.0	0.005	0.007	0.1	54°17'39.1" 18°38'9.6"
12	GKP w odległości 91m od anteny sektorowej az. 330°	0.3-2.0	0.003	0.005	0.06	54°17'39.8" 18°38'8.9"
13	PKP na az. 337° w odległości 25m od anteny sektorowej az. 330°	2.0	0.005	0.007	0.1	54°17'38.0" 18°38'11.0"

Sprawozdanie z badań bez pisemnej zgody laboratorium nie może być powielane inaczej niż w całości.
Wynik przedstawione w niniejszym sprawozdaniu odnoszą się wyłącznie do badanego obiektu i do warunków i konfiguracji urządzeń w dniu wykonywania pomiarów.

14	PKP na az. 350° w odległości 27m od anteny sektorowej az. 330°	2.0	0.005	0.007	0.1	54°17'38.4" 18°38'11.0"
15	PKP na az. 5° w odległości 26m od anteny sektorowej az. 330°	2.0	0.005	0.007	0.1	54°17'38.4" 18°38'11.4"
16	PKP na az. 35° w odległości 27m od anteny sektorowej az. 70°	2.0	0.004	0.006	0.09	54°17'38.0" 18°38'12.5"
17	PKP na az. 50° w odległości 29m od anteny sektorowej az. 70°	2.0	0.003	0.005	0.07	54°17'38.0" 18°38'12.8"
18	PKP na az. 64° w odległości 30m od anteny sektorowej az. 70°	0.3-2.0	<0.003*	0.004	0.05	54°17'37.7" 18°38'12.8"
19	PKP na az. 77° w odległości 29m od anteny sektorowej az. 70°	0.3-2.0	<0.003*	0.004	0.05	54°17'37.7" 18°38'13.2"
20	PKP na az. 90° w odległości 27m od anteny sektorowej az. 70°	0.3-2.0	<0.003*	0.004	0.05	54°17'37.3" 18°38'12.8"
21	PKP na az. 105° w odległości 23m od anteny sektorowej az. 70°	2.0	0.003	0.005	0.07	54°17'37.3" 18°38'12.8"
22	PKP na az. 144° w odległości 17m od anteny sektorowej az. 180°	2.0	**0.008**	0.012	0.16	54°17'37.0" 18°38'12.1"
23	PKP na az. 161° w odległości 17m od anteny sektorowej az. 180°	2.0	**0.008**	0.012	0.16	54°17'37.0" 18°38'11.8"
24	PKP na az. 173° w odległości 17m od anteny sektorowej az. 180°	2.0	0.007	0.011	0.15	54°17'37.0" 18°38'11.4"
25	PKP na az. 188° w odległości 18m od anteny sektorowej az. 180°	2.0	0.006	0.009	0.13	54°17'36.2" 18°38'11.4"
26	PKP na az. 200° w odległości 21m od anteny sektorowej az. 180°	2.0	0.007	0.01	0.14	54°17'36.6" 18°38'11.0"
27	PKP na az. 215° w odległości 23m od anteny sektorowej az. 180°	2.0	0.006	0.009	0.13	54°17'36.6" 18°38'10.7"
28	PKP na az. 294° w odległości 24m od anteny sektorowej az. 330°	2.0	0.005	0.007	0.09	54°17'37.7" 18°38'10.3"
29	PKP na az. 309° w odległości 28m od anteny sektorowej az. 330°	2.0	0.005	0.007	0.1	54°17'38.0" 18°38'10.3"
30	PKP na az. 322° w odległości 25m od anteny sektorowej az. 330°	2.0	0.005	0.007	0.1	54°17'38.0" 18°38'10.7"
31	PKP na az. 241° w odległości 58m od anteny sektorowej az. 180°	0.3-2.0	<0.003*	0.004	0.05	54°17'36.6" 18°38'8.5"
32	PKP na az. 254° w odległości 46m od anteny sektorowej az. 330°	2.0	0.005	0.007	0.09	54°17'37.0" 18°38'9.6"

Sprawozdanie z badań bez pisemnej zgody laboratorium nie może być powielane inaczej niż w całości.
Wynik przedstawione w niniejszym sprawozdaniu odnoszą się wyłącznie do badanego obiektu i do warunków i konfiguracji urządzeń w dniu wykonywania pomiarów.

33	DPP - w płaszczyźnie otworu okiennego budynku mieszkalnego, piętro 1, ul.	0.3-2.0	<0.003*	0.004	0.05	54°17'36.6" 18°38'8.2"
34	DPP - na tarasie budynku mieszkalnego, piętro 1, ul.	0.3-2.0	<0.003*	0.004	0.05	54°17'35.9" 18°38'8.5"
35	PKP na az. 204° w odległości 53m od anteny sektorowej az. 180°	2.0	0.005	0.008	0.11	54°17'35.9" 18°38'10.3"
36	PKP na az. 213° w odległości 83m od anteny sektorowej az. 180°	2.0	0.004	0.006	0.08	54°17'34.8" 18°38'10.3"
37	PKP na az. 110° w odległości 63m od anteny sektorowej az. 70°	2.0	0.003	0.005	0.07	54°17'36.6" 18°38'14.6"
38	DPP - w płaszczyźnie otworu okiennego budynku mieszkalnego, na parterze, ul.	0.3-2.0	<0.003*	0.004	0.05	54°17'37.3" 18°38'7.4"
39	PKP na az. 288° w odległości 48m od anteny sektorowej az. 330°	0.3-2.0	<0.003*	0.004	0.05	54°17'38.0" 18°38'8.9"
40	PKP na az. 28° w odległości 54m od anteny sektorowej az. 330°	0.3-2.0	<0.003*	0.004	0.05	54°17'39.1" 18°38'12.8"
-	GKP w odległości 206m od anteny sektorowej az. 330°	0.3-2.0	<0.003*	0.004	0.05	54°17'43.1" 18°38'5.6"
-	GKP w odległości 235m od anteny sektorowej az. 70°	0.3-2.0	<0.003*	0.004	0.05	54°17'39.8" 18°38'23.6"
-	GKP w odległości 262m od anteny sektorowej az. 180°	0.3-2.0	<0.003*	0.004	0.05	54°17'28.7" 18°38'11.4"

GKP – Główny Kierunek Pomiarowy
DPP – Dodatkowy Pion Pomiarowy
PKP – Pomocniczy Kierunek Pomiarowy
[1] wyniki oznaczone * są wynikami poniżej czułości zestawu pomiarowego i są wynikami spoza zakresu akredytacji. Do obliczenia wyniku skorygowanego przyjęto wartość skorelowaną z rzeczywistym wynikiem pomiaru - dolną granicę akredytowanego zakresu pomiarowego metody
[2] współrzędne geograficzne pozyskane metodą pomiaru bezpośredniego
[3] do wyznaczenia wartości wskaźnikowej WM_E i WM_H przyjęto na podstawie uzgodnień z klientem oraz rozpoznania źródeł, jako wartości dopuszczalne pola elektrycznego i magnetycznego odpowiednio 28 V/m i 0,073 A/m.
[4] do wyznaczenia niepewności dla wyników poniżej czułości zestawu pomiarowego, przyjęto niepewność dla minimalnej wartości z zakresu pomiarowego.
[5] maksymalna wartość chwilowa
Niepewność oszacowano zgodnie z dokumentem P-03 „Procedura nadzoru nad wyposażeniem" w postaci niepewności rozszerzonej wynikającej z niepewności standardowej pomnożonej przez współczynnik rozszerzenia k=2.
Całkowita szacowana niepewność rozszerzona składowej E wynosi odpowiednio: 48.8% dla częstotliwości do 40 GHz

Umiejscowienie pionów (punktów) pomiarowych przedstawiono w załączniku nr 2 do niniejszego sprawozdania.

Sprawozdanie z badań bez pisemnej zgody laboratorium nie może być powielane inaczej niż w całości.
Wynik przedstawione w niniejszym sprawozdaniu odnoszą się wyłącznie do badanego obiektu i do warunków i konfiguracji urządzeń w dniu wykonywania pomiarów.

10. Omówienie wyników pomiarów

W związku z tym, że żadna z wartości zmierzonych, udokumentowanych w tabelach w pkt. 9, uzyskanych w skutek zastosowania pomiaru szerokopasmowego, powiększonego o rozszerzoną niepewność pomiaru U dla współczynnika rozszerzenia k = 2 nie przekroczyła 70% najniższej dopuszczalnej wartości składowej elektrycznej lub magnetycznej pola dla objętych pomiarami zakresów częstotliwości, nie uwzględnia się poprawek pomiarowych.

W wyniku zastosowania sposobu sprawdzenia dotrzymania dopuszczalnych poziomów pól elektromagnetycznych w środowisku, zgodnie pkt 25 ppkt 1 Rozporządzenia Ministra Klimatu z dnia 17 lutego 2020 r. (Dz. U. 2022, poz. 2630), w związku z tym, że żadna z wartości wskaźnikowych, udokumentowanych w tabelach w pkt. 9 nie przekracza wartości 1, stwierdza się, że w miejscach, w których wykonano pomiary w otoczeniu instalacji radiokomunikacyjnej 30685 (40018N!) GGD_GDANSK_TRAKTSWWOJ389, dopuszczalne poziomy pól elektromagnetycznych w środowisku należy uznać za dotrzymane.

Miejsca niedostępne podczas wykonywania pomiarów wskazane zostały w pkt. 9 (Wyniki pomiarów) lub na załączniku przedstawiającym usytuowanie pionów pomiarowych.

11. Podstawa prawna

1) Ustawa z dnia 27 kwietnia 2001 r. Prawo ochrony środowiska (Dz.U. 2022 poz. 2556)
2) Rozporządzenie Ministra Zdrowia z dnia 17 grudnia 2019 r. w sprawie dopuszczalnych poziomów pól elektromagnetycznych w środowisku (Dz. U. 2019, poz. 2448)
3) Rozporządzenie Ministra Klimatu z dnia 17 lutego 2020 r. w sprawie sposobów sprawdzania dotrzymania dopuszczalnych poziomów pól elektromagnetycznych w środowisku (Dz. U. 2022, poz. 2630),
4) Akredytacja nr AB 419 wydana przez Polskie Centrum Akredytacji (wydanie 22, z dnia 9 stycznia 2024 r.)

12. Spis załączników

Załącznik 1. Lokalizacja obiektu badań
Załącznik 2. Usytuowanie pionów (punktów) pomiarowych
Załącznik 3. Dokumentacja fotograficzna obiektu badań

13. Data wydania i autoryzowania sprawozdania

Obliczenia i sprawozdanie wykonał :

Signed by /
Podpisano przez:

Anna Kacperska

Date / Data:
2024-01-25
10:18

Sprawozdanie autoryzował:

Signed by /
Podpisano przez:

Agnieszka
Harbacewicz

Date / Data: 2024-
01-25 16:04

Koniec sprawozdania

Sprawozdanie z badań bez pisemnej zgody laboratorium nie może być powielane inaczej niż w całości.
Wynik przedstawione w niniejszym sprawozdaniu odnoszą się wyłącznie do badanego obiektu i do warunków i konfiguracji urządzeń w dniu wykonywania pomiarów.



Załącznik nr 1	**INSTALACJA RADIOKOMUNIKACYJNA T-Mobile Polska S.A.** 30685 (40018N!) GGD_GDANSK_TRAKTSWWOJ389 Lokalizacja instalacji radiokomunikacyjnej

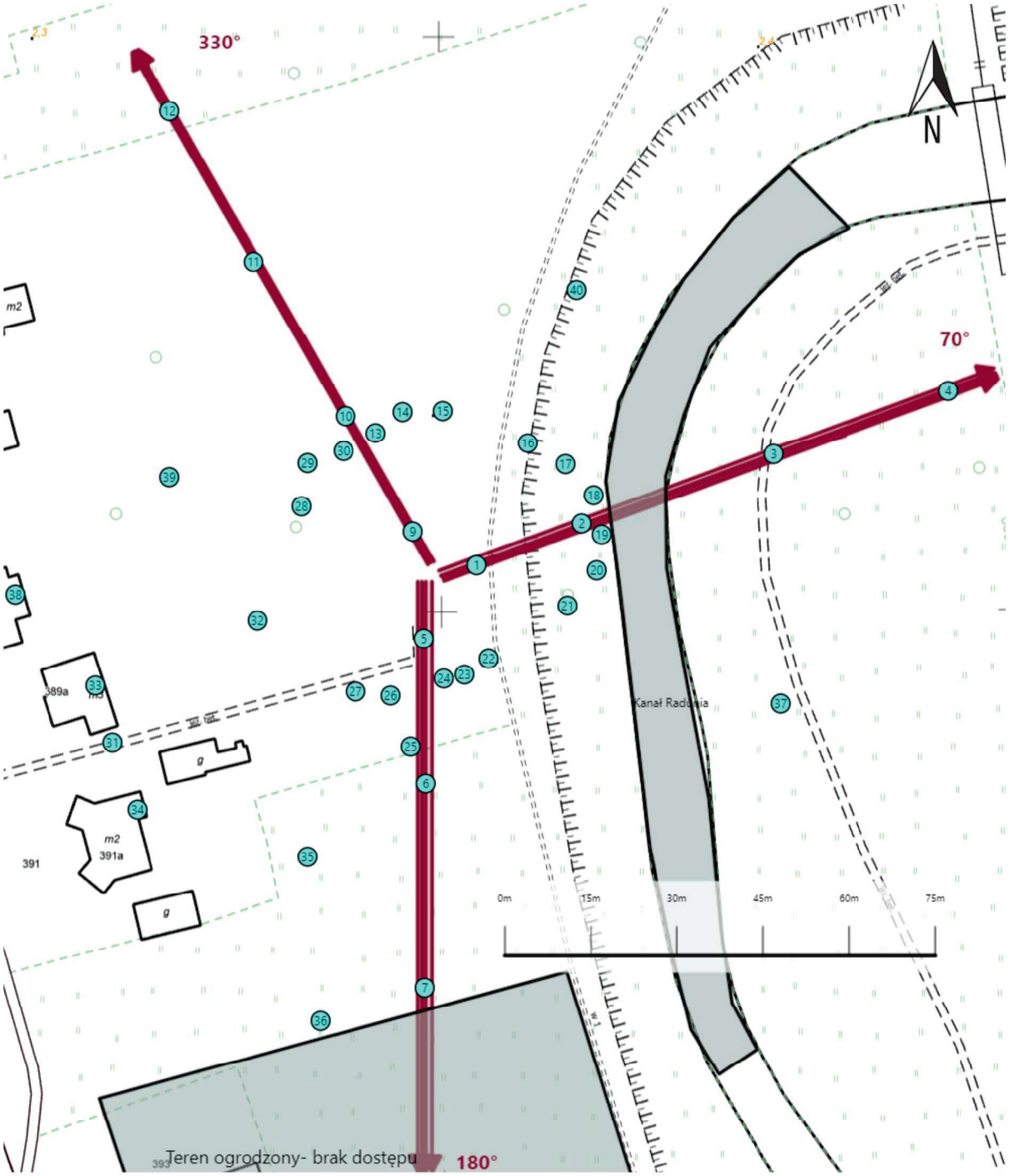

Załącznik nr 2	Instalacja radiokomunikacyjna T-Mobile Polska S.A. GGD_GDANSK_TRAKTSWWOJ389 (40018N!) Usytuowanie pionów pomiarowych w otoczeniu instalacji radiokomunikacyjnej
	Legenda: Brak dostępu; Pion pomiarowy; Kierunek oddziaływania anten sektorowych; Kierunek oddziaływania anten radioliniowych



Załącznik nr 3	**INSTALACJA RADIOKOMUNIKACYJNA T-Mobile Polska S.A.** 30685 (40018N!) GGD_GDANSK_TRAKTSWWOJ389 Zdjęcia instalacji radiokomunikacyjnej